

## · 实验研究 ·

# 褪黑激素对体外培养神经元七氟醚损害的保护作用

石 磊 周 银 芳 方 圆

**【摘要】**目的 探讨褪黑激素(MLT)对体外培养神经元七氟醚(SEV)损伤的保护作用及其机制。方法 取SD大鼠乳鼠全脑皮层组织,分离皮质神经元进行体外培养;MLT预处理24 h后,4% SEV作用神经元;采用CCK-8法检测神经元存活率,流式细胞术检测神经元凋亡率,qPCR检测神经元miR-130a-3p和ROCK2 mRNA水平;免疫印迹法检测凋亡相关蛋白表达;应用在线预测软件TargetScan分析预测miR-130a-3p与ROCK2靶向关系并验证。结果 SEV明显降低神经元存活率以及miR-130a-3p和ROCK2 mRNA水平( $P<0.05$ ),明显增加神经元凋亡率及凋亡相关蛋白cle-caspase3和cle-caspase9表达水平( $P<0.05$ );MLT明显抑制SEV的作用( $P<0.05$ )。软件TargetScan分析显示,miR-130a-3p与ROCK2的3'非编码区第846~852碱基处存在结合位点,PCR和免疫印迹法检测显示,miR-130a-3p与ROCK2存在靶向关系。ROCK2过表达明显逆转MLT预处理的效果( $P<0.05$ )。结论 MLT预处理明显改善SEV对体外培养的大鼠乳鼠皮质神经元的损害,机制可能是上调miR-130a,进而靶向抑制ROCK2表达。

**【关键词】** 皮质神经元;褪黑激素;miR-130a;ROCK2;七氟醚;大鼠乳鼠

**【文章编号】** 1009-153X(2021)05-0354-06   **【文献标志码】** A   **【中国图书资料分类号】** R 36; R 614

### Protective effect of melatonin on sevoflurane injury to cultured neonatal rat cortical neurons

SHI Lei<sup>1</sup>, ZHOU Yin-fang<sup>2</sup>, FANG Yuan<sup>1</sup>. 1. Department of Anesthesiology, Ankang Central Hospital, Ankang 725000, China; 2. Department of Laboratory, Ankang People's Hospital, Ankang 725000, China

**[Abstract]** **Objective** To explore the protective effect of melatonin (MLT) on the sevoflurane (SEV) injury to cultured neonatal rat cortical neurons. **Methods** The neonatal rat cortical neurons were isolated from the whole cerebral cortex tissues of SD neonatal rats and cultured *in vitro*. After pretreatment with MLT for 24 h, the cortical neurons were treated with 4% SEV. The survival and apoptosis rates of neurons were detected using CCK-8 method and flow cytometry, respectively. The levels of miR-130a-3p and ROCK2 mRNA were detected by qPCR. The expression levels of apoptosis-related proteins were detected by Western blot. The targeted relationship between miR-130a-3p and ROCK2 was predicted using TargetScan software and verified. **Results** SEV significantly decreased the neuron survival rate and the levels of miR-130a-3p and ROCK2 mRNA ( $P<0.05$ ), and significantly increased the neuron apoptosis rate and expression levels of apoptosis-related proteins including cle-caspase3 and cle-caspase9 ( $P<0.05$ ). MLT significantly inhibited the effect of SEV on the cultured neurons ( $P<0.05$ ). Software TargetScan analysis showed that miR-130a-3p and ROCK2 had a binding site at base 846~852 of the 3'non-coding region. PCR and Western blotting results showed that miR-130a-3p and ROCK2 had a targeting relationship. ROCK2 overexpression significantly reversed the effect of MLT pretreatment on the injured neurons induced by SEV ( $P<0.05$ ). **Conclusions** MLT pretreatment significantly improve the SEV injury to the cultured neonatal rat cortical neurons, which may be possibly through up-regulation miR-130a, and then targeted inhibition of ROCK2 expression.

**【Key words】** Neonatal rat cortical neuron; Melatonin; miR-130a; Sevoflurane

七氟醚(sevoflurane, SEV)是临床剖宫产术和儿科麻醉的常用吸入麻醉药,具有快速诱导、苏醒快的优点,且对血流动力学影响较小<sup>[1]</sup>。研究显示,SEV影响神经元的发育,导致树突、树突棘发育障碍<sup>[2,3]</sup>。预防SEV吸入引起的神经毒性为目前研究热点。褪

黑激素(melatonin, MLT)主要由松果体合成,具有多种生物学效应,如调控昼夜节律、改善睡眠质量、抑制肿瘤生长、抗氧化及抗凋亡等<sup>[4]</sup>。Sun等<sup>[5]</sup>研究发现,儿童心脏手术SEV吸入麻醉后,血清MLT水平的降低与神经损伤密切相关。本研究观察MLT预处理对SEV作用后新生大鼠皮质神经元存活与凋亡的影响。

## 1 材料与方法

1.1 新生大鼠皮质神经元的分离与鉴定<sup>[6]</sup> 取20只SD大鼠乳鼠(出生24 h内),北京实验动物研究中心

doi:10.13798/j.issn.1009-153X.2021.05.012

基金项目:陕西省科技厅社会发展科技攻关项目(2016SF-246)

作者单位:725000 陕西,安康市中心医院麻醉科(石 磊、方 圆);

725000 陕西,安康市人民医院检验科(周银芳)

通讯作者:方 圆,E-mail:fangyuan110@163.com

提供),断头处死,取出全脑并分离皮层组织,剪成小块,加入胰蛋白酶(1.25 g/L)消化15 min,室温1 000转/min离心5 min,经200目筛网过滤。然后,接种至多聚赖氨酸预包被的培养瓶中培养3 d,加入阿糖胞苷抑制非神经元细胞,培养至第6天时,采用微管联蛋白2免疫荧光染色,鉴定、分离新生大鼠皮质神经元细胞,纯度约为98%。见图1。

## 1.2 细胞分组与处理

**1.2.1 SEV 最佳作用时间** 以4%的SEV(厦门慧嘉生物科技有限公司)作用神经元0、2、4、6、8、10 h,检测细胞存活率、凋亡率,以确定最佳作用时间。

**1.2.2 MLT 预处理对 SEV 作用后神经元存活与凋亡的影响** 10、50、100  $\mu\text{mol}/\text{L}$  的MLT(美国Sigma-Aldrich公司)预处理24 h,再用4% SEV作用10 h,根据MLT浓度分为正常组(正常培养神经元)、对照组(4% SEV作用10 h,无MLT预处理),以及低、中、高剂量MLT组(10、50、100  $\mu\text{mol}/\text{L}$  MLT预处理24 h后,4% SEV作用10 h)。检测神经元存活率、凋亡率,以及miR-130a-3p和细胞凋亡相关蛋白表达水平。

**1.2.3 miR-130a-3p 与 ROCK2 的靶向关系** 构建过表达miR-130a-3p、ROCK2的细胞株,参照脂质体3 000试剂盒(美国Invitrogen公司)说明书,将对照模拟物(normal control mimic, NC mimic)和miR-130a-3p模拟物(miR-130a-3 mimic)分别转染神经元,另加入慢病毒(lentivirus, LV)、ROCK2慢病毒(LV-ROCK2)感染神经元,NC mimic、miR-130a-3p mimic及LV由上海吉凯基因化学技术有限公司提供。将神经元分为NC mimic组、miR-130a-3p mimic组、LV-ROCK2组和miR-130a-3p+ROCK2组。

**1.2.4 ROCK2 过表达对 MLT 预处理后 SEV 作用神经元存活和凋亡的影响** 将神经元分为SEV组(4% SEV作用10 h)、高剂量MLT组(100  $\mu\text{mol}/\text{L}$  MLT预处理24 h后,4% SEV作用10 h)、LV-ROCK2组(ROCK2慢病毒感染神经元后,4% SEV作用10 h)和MLT+ROCK2组(ROCK2慢病毒感染神经元后,100  $\mu\text{mol}/\text{L}$  MLT预处理24 h后,4% SEV作用10 h)。

**1.3 CCK-8 法检测神经元存活率** 将神经元以 $1\times10^3$ /孔接种至96孔板,添加含有10%细胞计数试剂(上海江莱生物科技有限公司)的培养基,继续培养4 h。450 nm处检测光密度值,计算细胞存活率[(OD<sub>处理</sub>-OD<sub>0h</sub>)×100%]。

**1.4 流式细胞仪检测神经元凋亡率** 收集处理后细胞,调整密度为 $3\times10^6$ 个/ml,加入预冷乙醇4 ℃下固定1 h,重悬后经400目筛网过滤,加入100  $\mu\text{l}$ 结合缓

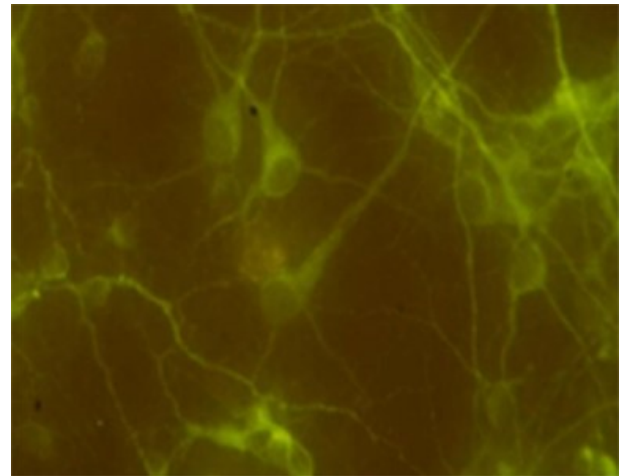


图1 体外培养神经元免疫荧光染色(x400)

冲液、2  $\mu\text{l}$  FITC标记的Annexin-V及1  $\mu\text{l}$  PI染液(武汉博士德生物工程有限公司),室温下避光孵育30 min,流式细胞仪检测。

**1.5 实时荧光定量 PCR 检测细胞 miR-130a-3p 和 ROCK2 mRNA 的表达**<sup>[7,8]</sup> 收集处理后神经元,采用Trizol法提取细胞总RNA,根据逆转录试剂盒操作规范合成cDNA模板链,反应体系(10  $\mu\text{l}$ )包括:2  $\mu\text{l}$  逆转录buffer、0.2  $\mu\text{l}$  上游引物、0.2  $\mu\text{l}$  下游引物、0.1  $\mu\text{l}$  dNTP、0.5  $\mu\text{l}$  逆转录酶、5  $\mu\text{l}$  无RNA酶水和2  $\mu\text{l}$  提取的RNA。将cDNA模板混入荧光染料,应用荧光定量PCR仪分析,反应体系(50  $\mu\text{l}$ )包括:10  $\mu\text{l}$  荧光染料、0.5  $\mu\text{l}$  上游引物、0.5  $\mu\text{l}$  下游引物、0.5  $\mu\text{l}$  dNTP、1  $\mu\text{l}$  Taq酶、32.5  $\mu\text{l}$  无RNA酶水和5  $\mu\text{l}$  cDNA。miR-130a-3p以U6为内参,ROCK2以GADPH为内参。ROCK2上游引物5'-ATTCAGCAGCTGGAATCTAA-3',下游引物5'-GTCTCTTCTCCAGTTCGTAC-3'。所有引物由上海吉凯基因化学技术有限公司提供。采用 $2^{-\Delta\Delta\text{CT}}$ 法计算miR-130a-3p和ROCK2 mRNA的相对表达量。

**1.6 免疫印迹法检测细胞相关蛋白的表达** 收集处理后神经元,采用放射免疫沉淀法提取总蛋白;SDS-PAGE电泳,110 V恒压电泳1.5 h;采用湿转法将蛋白转移至硝酸纤维素膜;5%脱脂奶粉室温封闭2 h;加入一抗[GADPH(1:1 000);cle-caspase3(1:1 500);cle-caspase9(1:1 500);ROCK2(1:1 000);美国Cell Signaling公司]4 ℃下孵育过夜;然后加入二抗(1:10 000;美国Cell Signaling公司)37 ℃孵育1 h。化学发光液进行蛋白显影、拍照。

**1.7 双荧光素酶报告实验验证靶向关系** 应用在线预测软件TargetScan分析miR-130a-3p和ROCK2的可能结合位点信息,合成含该位点的DNA片段

(WT)以及含该位点突变体的DNA片段(MUT),并将上述片段克隆至双荧光素酶启动子载体上,分别用上述质粒、NC mimic及miR-130a-3p mimic转染神经元,培养48 h后加入100~200 μl裂解液,取10 μl细胞裂解液均匀混入50 μl LAR II试剂,置于检测仪读数萤火虫荧光素酶反应强度(R);再均匀加入

50 μl Stop &Glo reagent试剂,置于检测仪读数海肾荧光素酶反应强度(F),计算荧光素酶活性(R/F)。试剂盒购自上海群己生物科技有限公司。

1.8 统计学方法 采用SPSS 21.0软件分析;计量资料以 $\bar{x}\pm s$ 表示,采用单因素方差分析和SNK-q法,以 $P<0.05$ 为差异有统计学意义。

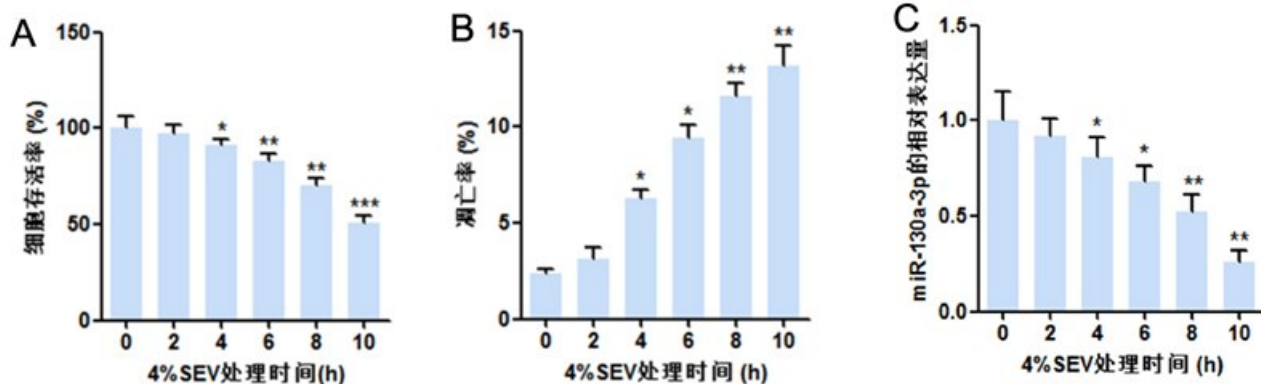


图2 SEV对体外培养神经元存活和凋亡的影响

与0 h组比较,\* $P<0.05$ ,\*\* $P<0.01$ ,\*\*\* $P<0.001$ ;SEV. 七氟醚

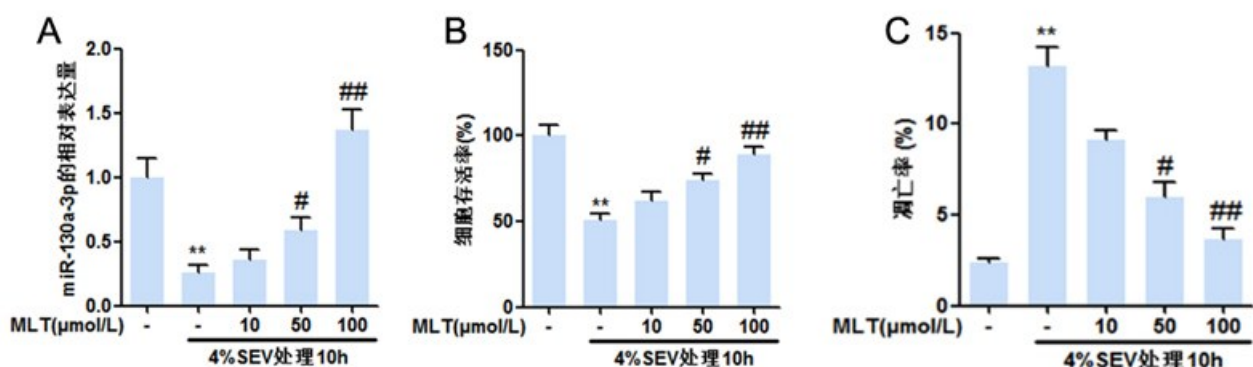


图3 MLT预处理对SEV作用后体外培养神经元存活和凋亡的影响

与正常组比较,\*\* $P<0.01$ ;与4% SEV处理组比较,# $P<0.05$ ,## $P<0.01$ ;MLT. 褪黑激素;SEV. 七氟醚

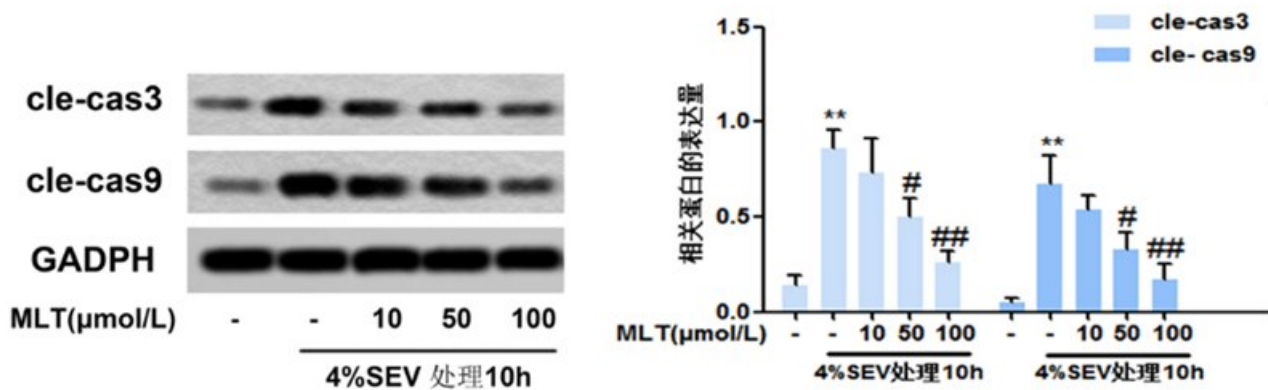


图4 MLT预处理对SEV作用后体外培养神经元凋亡相关蛋白表达的影响

与正常组比较,\*\* $P<0.01$ ;与4% SEV处理组比较,# $P<0.05$ ,## $P<0.01$ ;MLT. 褪黑激素;SEV. 七氟醚

## 2 结果

**2.1 SEV 对神经元存活和凋亡的影响** 与 0 h 比较, SEV 作用后 2、4、6、8、10 h 神经元存活率和 miR-130a-3p 表达水平均明显降低, 凋亡率却明显升高 ( $P<0.05$ ), 其中 10 h 时作用最显著 ( $P<0.05$ )。见图 2。SEV 作用 10 h 进行后续实验。

**2.2 MLT 预处理对 SEV 作用后神经元存活和凋亡的影响** 与正常组比较, SEV 组 miR-130a-3p 表达水平、神经元存活率均明显降低 ( $P<0.05$ ), 神经元凋亡率及 cle-caspase3 和 cle-caspase9 蛋白表达水平均明显增高 ( $P<0.05$ )。与 SEV 组比较, 中、高剂量 MLT 组

miR-130a-3p 表达水平和神经元存活率均明显增加 ( $P<0.05$ ), 神经元凋亡率及 cle-caspase3 和 cle-caspase9 蛋白表达水平均明显降低 ( $P<0.05$ ), 而且高剂量 MLT 明显优于中剂量 MLT。见图 3、4。高剂量 MLT 进行后续实验。

**2.3 miR-130a-3p 与 ROCK2 存在靶向关系** 软件 TargetScan 分析显示, miR-130a-3p 与 ROCK2 的 3' 非编码区第 846~852 碱基处存在结合位点。PCR 检测显示, 与 0 h 比较, SEV 作用后 2、4、6、8、10 h 神经元 ROCK2 mRNA 表达明显升高, 10 h 升高最显著 ( $P<0.05$ ); 与对照组相比, 过表达 miR-130a-3p 后 miR-130a-3p 表达升高 ( $P<0.05$ ), 过表达 ROCK2 后

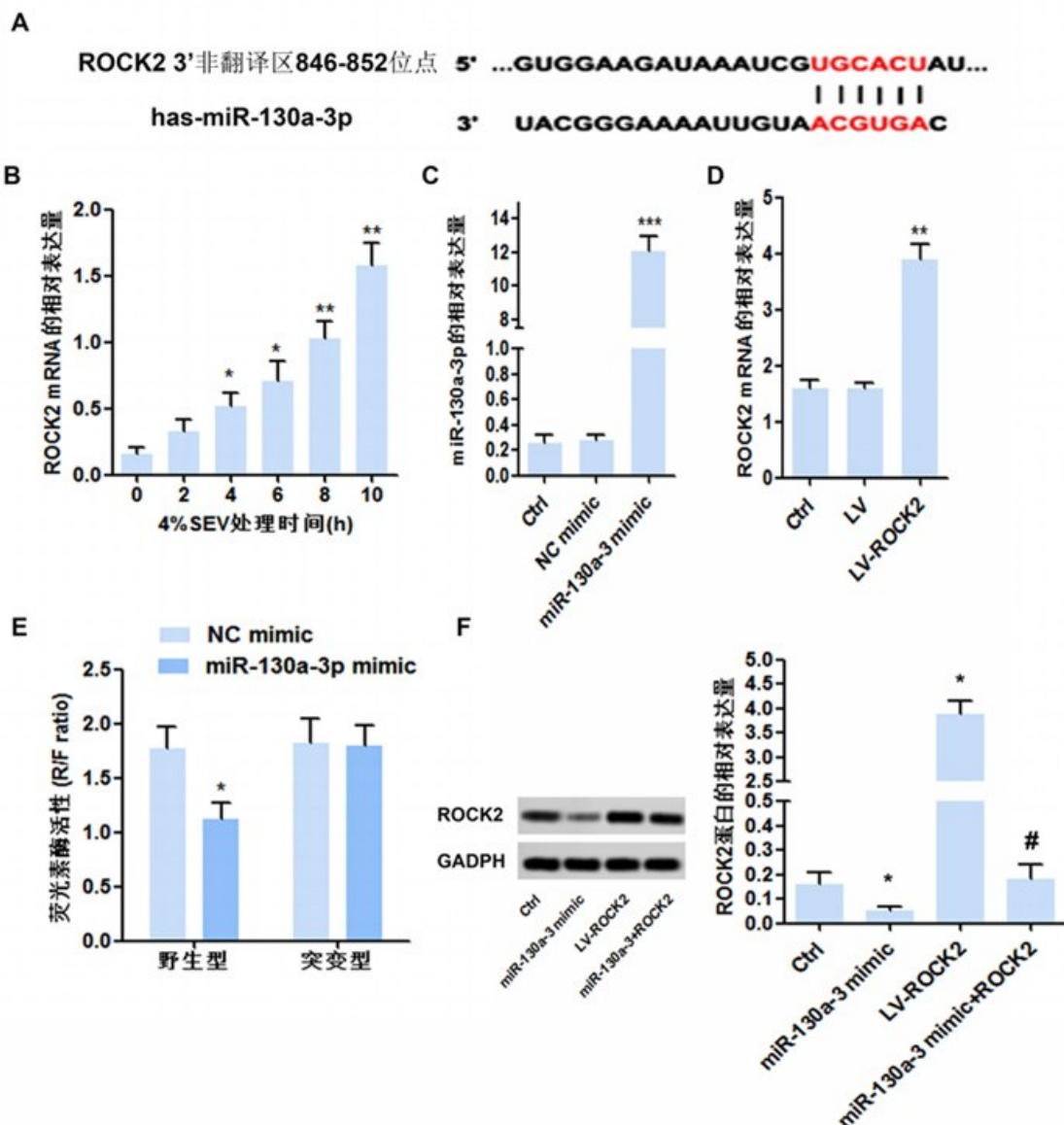


图 5 miR-130a-3p 与 ROCK2 靶向关系

与 0 h 组、SEV 组、NC mimic 组比较, \*  $P<0.05$ , \*\*  $P<0.01$ ; 与 LV-ROCK2 组比较, #  $P<0.05$ ; Ctrl. SEV 组; NC mimic. 模拟物对照组; miR-130a-3p mimic. miR-130a-3p 模拟物; LV-ROCK2. 含 ROCK2 慢病毒; MLT. 褪黑激素; SEV. 七氟醚

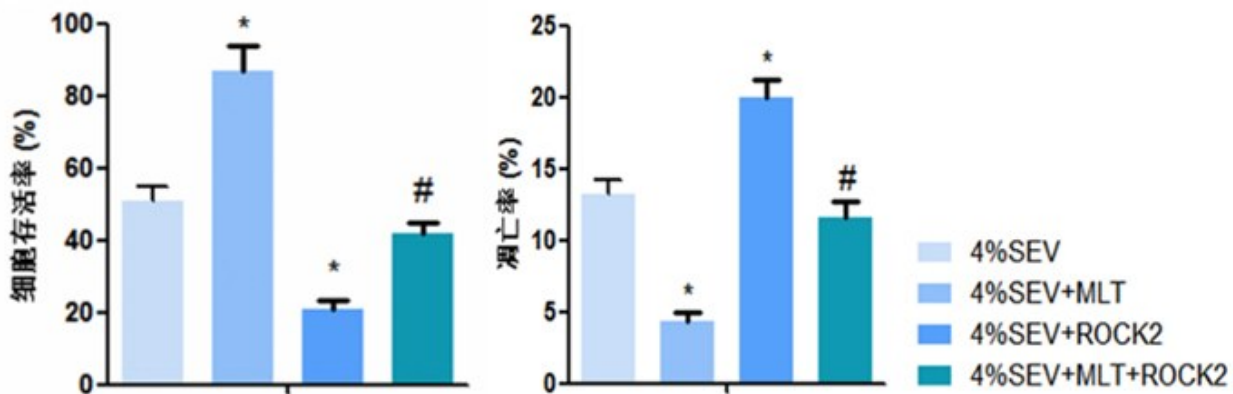


图6 ROCK2过表达对MLT预处理后SEV作用神经元存活和凋亡的影响  
与SEV组比较,\*P<0.05;与MLT组、ROCK2组比较,#P<0.05;MLT,褪黑激素;SEV,七氟醚

ROCK2 mRNA表达升高( $P<0.05$ )。双荧光素酶报告实验结果显示,与NC mimic组比较,含有WT及miR-130a-3p mimic神经元荧光素酶活性明显降低( $P<0.05$ ),而含有MUT及miR-130a-3p mimic神经元荧光素酶活性无明显变化( $P>0.05$ )。免疫印迹法检测显示,与对照组比较,miR-130a-3p mimic组ROCK2蛋白表达明显降低( $P<0.05$ ),LV-ROCK2组ROCK2蛋白表达明显升高( $P<0.05$ );与LV-ROCK2组比较,miR-130a-3p+ROCK2组ROCK2蛋白表达水平明显降低( $P<0.05$ )。见图5。

**2.4 ROCK2过表达对MLT预处理后SEV作用神经元存活和凋亡的影响** 与SEV组比较,高剂量MLT组神经元存活率明显升高、凋亡率明显降低( $P<0.05$ ),LV-ROCK2组神经元存活率明显降低、凋亡率明显增高( $P<0.05$ )。与LV-ROCK2组相比,MLT+ROCK2组神经元存活率明显增加、凋亡率明显降低( $P<0.05$ )。与高剂量MLT组比较,MLT+ROCK2组神经元存活率明显降低、凋亡率明显增加( $P<0.05$ )。见图6。

### 3 讨论

动物实验表明,SEV对于未成熟脑的神经毒性表现为神经元凋亡<sup>[9]</sup>。既往研究显示,miR-130a-3p可调控肿瘤细胞增殖、迁移与侵袭,具有抗肿瘤作用<sup>[10]</sup>。Jiang等<sup>[11]</sup>研究表明,miR-130a-3p还可改善高糖诱导的足细胞功能障碍。本文结果显示miR-130a-3p参与调控SEV诱导的体外培养神经元凋亡过程。

MLT是脊椎动物体内重要的激素,具有调整时差、改善睡眠、神经保护、抗肿瘤等作用。李林成等<sup>[12]</sup>研究发现,MLT可调控miRNA-9表达,抑制脓毒症

炎性反应。Gu等<sup>[13]</sup>研究显示,MLT可抑制miRNA-155的表达,从而抑制胶质瘤细胞的增殖和侵袭。本文结果显示MLT可通过上调miR-130a-3p水平,下调cle-cas3和cle-cas9蛋白表达,抑制神经元凋亡,从而保护SEV诱导的神经元损伤。

另外,本文通过在线预测软件TargetScan分析,发现miR-130a-3p与ROCK2存在靶向关系。ROCK是Rho/ROCK信号通路的关键分子,在轴突生长分化、树突棘形成和维持以及记忆过程中有重要作用<sup>[14]</sup>。本研究显示,SEV作用后新生大鼠皮质神经元ROCK2 mRNA表达水平明显升高;且过表达ROCK2可抑制神经元存活,促进其凋亡,提示ROCK2表达上调与SEV诱导的神经毒性密切相关。这与文献报道相似<sup>[15]</sup>。同时,本文结果发现MLT预处理MLT,明显增加神经元miR-130a-3p表达水平,抑制ROCK2的表达。这提示MLT可能提高调控miR-130a-3p/ROCK2减轻SEV诱导的神经毒性。

综上所述,MLT可明显改善SEV对新生大鼠皮质神经元的毒性作用,机制可能是通过上调miR-130a靶向抑制ROCK2的表达。

### 【参考文献】

- [1] Kotwani MB, Malde AD. Comparison of maintenance, emergence and recovery characteristics of sevoflurane and desflurane in pediatric ambulatory surgery [J]. J Anaesthesiol Clin Pharmacol, 2017, 33(4): 503-508.
- [2] Lu X, Lv S, Mi Y, et al. Neuroprotective effect of miR-665 against sevoflurane anesthesia-induced cognitive dysfunction in rats through PI3K/Akt signaling pathway by targeting insulin-like growth factor 2 [J]. Am J Transl Res, 2017, 9

- (3):1344–1356.
- [3] Wang Y, Zuo M. Nicotinamide improves sevoflurane-induced cognitive impairment through suppression of inflammation and anti-apoptosis in rat [J]. Int J Clin Exp Med, 2015, 8(11): 20079–20085.
- [4] Tordjman S, Chokron S, Delorme R, et al. Melatonin: pharmacology, functions and therapeutic benefits [J]. Curr Neuroparmacol, 2017, 15(3): 434–443.
- [5] Sun Y, Liu J, Yuan X, et al. Effects of dexmedetomidine on emergence delirium in pediatric cardiac surgery [J]. Minerva Pediatr, 2017, 69(3):165–173.
- [6] 张忠胜, 刘双凤, 黄四春. 胸腺素β4对大鼠皮质神经细胞氧糖剥夺-复氧损伤的保护作用研究[J]. 中国脑血管病杂志, 2019, 16(6):296–302.
- [7] Pan RY, Liu P, Zhou HT, et al. Circular RNAs promote TRPM3 expression by inhibiting hsa-miR-130a-3p in coronary artery disease patients [J]. Oncotarget, 2017, 8 (36): 60280–60290.
- [8] Bobo-Jiménez V, Delgado-Esteban M, Angibaud J, et al. APC/CCdh1-Rock2 pathway controls dendritic integrity and memory [J]. Proc Natl Acad Sci USA, 2017, 114(17): 4513–4518.
- [9] Wang Z, Cui R, Wang K. Effects of sevoflurane pretreatment  
on the apoptosis of rat H9c2 cardiomyocytes and the expression of GRP78 [J]. Exp Ther Med, 2018, 15(3):2818–2823.
- [10] Hu B, Zhang H, Wang Z, et al. LncRNA CCAT1/miR-130a-3p axis increases cisplatin resistance in non-small-cell lung cancer cell line by targeting SOX4 [J]. Cancer Biol Ther, 2017, 18(12): 974–983.
- [11] Jiang Y, Wang W, Liu Z, et al. Overexpression of miR130a 3p/301a3p attenuates high glucoseinduced MPC5 podocyte dysfunction through suppression of TNF $\alpha$  signaling [J]. Exp Ther Med, 2018, 15(1):1021–1028.
- [12] 李林成, 刘铭传, 曹梦远, 等. 褪黑素调控微小RNA-9抑制脓毒症炎性反应的机制[J]. 中华实验外科杂志, 2019, 36(5):823–826.
- [13] Gu J, Lu Z, Ji C, et al. Melatonin inhibits proliferation and invasion via repression of miRNA-155 in glioma cells [J]. Biomed pharmacother, 2017, 93: 969–975.
- [14] 滕培兰, 贾敏, 李斌, 等. 海马RhoA-ROCK2通路在老年小鼠术后认知功能障碍中的作用[J]. 临床麻醉学杂志, 2018, 34(6):574–578.
- [15] 周勤, 邹磊, 谢敏, 等. 异丙酚诱发新生大鼠海马神经元凋亡及与RhoA/ROCK2信号通路的关系[J]. 中国临床药理学杂志, 2019, 35(8):47–49.

(2020-04-22收稿, 2020-06-30修回)

(上接第353页)

综上所述,术前MRI显示的瘤周水肿程度与高级别胶质瘤人生存预后密切相关,重度水肿病人预后较差;但还需要大规模和前瞻性研究进行进一步分析,特别是需要确定这些独立生存预测因子的关键分子机制。

### 【参考文献】

- [1] Schoenegger K, Oberndorfer S, Wuschitz B, et al. Peritumoral edema on MRI at initial diagnosis: an independent prognostic factor for glioblastoma [J]. Eur J Neurol, 2009, 16 (7): 874–878.
- [2] Hartmann M, Jansen O, Egelhof T, et al. Effect of brain edema on the recurrence pattern of malignant gliomas [J]. Der Radiologe, 1998, 38(11): 948–953.
- [3] Seidel C, Dorner N, Osswald M, et al. Does age matter: a MRI study on peritumoral edema in newly diagnosed primary glioblastoma [J]? BMC Cancer, 2011, 11: 127.
- [4] Yamahara T, Numa Y, Oishi T, et al. Morphological and flow cytometric analysis of cell infiltration in glioblastoma: a comparison of autopsy brain and neuroimaging [J]. Brain Tumor Pathol, 2010, 27(2): 81–87.
- [5] Burger PC, Dubois PJ, Schold Jr SC, et al. Computerized tomographic and pathologic studies of the untreated, quiescent, and recurrent glioblastoma multiforme [J]. J Neurosurg, 1983, 58(2): 159–169.
- [6] Chen J, Li Y, Yu TS, et al. A restricted cell population propagates glioblastoma growth after chemotherapy [J]. Nature, 2012, 488(7412): 522–526.
- [7] Mangiola A, de Bonis P, Maira G, et al. Invasive tumor cells and prognosis in a selected population of patients with glioblastoma multiforme [J]. Cancer, 2008, 113(4): 841–846.
- [8] Liu SY, Mei WZ, Lin ZX. Pre-operative peritumoral edema and survival rate in glioblastoma multiforme [J]. Onkologie, 2013, 36(11): 679–684.

(2020-09-23收稿, 2021-03-17修回)